

и найти средний пробег по трубке  $\lambda_{cp}$ . Как правило, частицы, возникающие в зоне пучка, имеют более длинные пробеги, чем частицы, образующиеся на электродах, и вносят, по-видимому, основной вклад в рентгеновское облучение изолятора трубы и образование пробоев.

Рассматривались три типа фокусирующих систем: с магнитными и электростатическими квадрупольными линзами, а также с аксиально симметричными магнитными линзами. В условиях, когда эти три канала эквивалентны по фокусировке основного пучка, их вторично-электронные характеристики оказываются существенно различными. Наименьшие значения  $\lambda_{cp}$  и, следовательно, более высокую электрическую прочность трубы обеспечивали магнитные квадруполя.

Качественный анализ позволил найти условия, при которых пробеги основной массы вторичных электронов меньше длины  $L_0$  периода ФОДО структуры квадрупольного канала: для магнитных квадруполей

$$\lambda \leq L_0, \text{ если } \operatorname{ch} \frac{1}{2} \left( \frac{G_m^2 L_0^3}{E_0} \cdot \frac{e}{m} \right)^{1/4} \gg 1; \text{ для электростатических квадруполей } \lambda \leq L_0, \text{ если } \operatorname{ch} \frac{1}{2} \left( \frac{G_E L_0}{E_0} \right)^{1/2} \gg 1.$$

## Расчет естественной циркуляции в контуре водо-водяного реактора

В. М. СЕЛИВАНОВ, А. А. ГОРЕВ, В. Ф. КЛИМОВА, И. И. ЗДВИЖКОВ

УДК 621.039.534.2

Уровень мощности реактора, снимаемой за счет естественной циркуляции однофазного теплоносителя, определяется в первую очередь относительным расположением активной зоны и парогенератора, а также сопротивлением контура. В тех системах, где высота контура циркуляции невелика, а высота активной зоны и парогенератора сравнимы с ней или равны, естественная циркуляция в контуре в значительной мере зависит от распределения температур в нем. Задача гидравлического и теплового расчетов контура для аппарата известной геометрии сводится при этом к решению системы дифференциальных уравнений сохранения энергии и количества движения. Решение этой задачи требует известных затрат времени.

Вместе с тем известно, что в том случае, когда источники нагрева и охлаждения разнесены по высоте контура, естественная циркуляция однофазного теплоносителя в нем достаточно хорошо описывается на основании представления о линейном распределении температур теплоносителя на участках с теплообменом.

В настоящей статье путем сравнения приближенного решения с использованием линейной модели и точного решения уравнений сохранения энергии и количества движения определяется граница возможного применения линейной аппроксимации. Делается также попытка учесть нелинейность распределения температуры по высоте парогенератора при использовании линейной модели. Учет этой нелинейности проводится в геометрическом параметре контура  $\psi$ , который в линейном приближении численно равен расстоянию по высоте между геометрическими центрами активной зоны и парогенератора. При учете нелинейности  $\psi$  определяется следующим образом:

$$\psi = H_k - \frac{H_{a,z}}{2} - z_{cp},$$

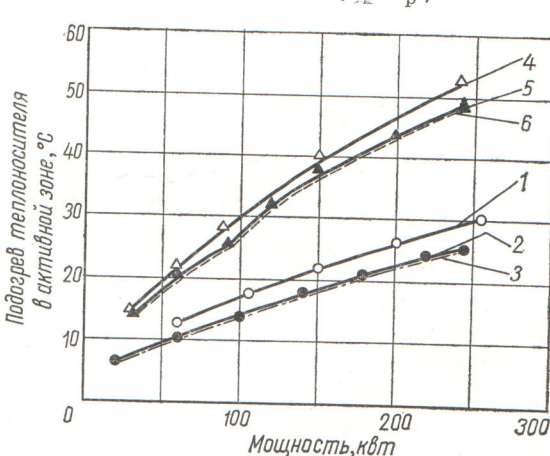
Здесь  $G_m$  — градиент поля магнитной линзы,  $t/m$ ;  $G_E$  — градиент поля электростатической линзы,  $e/m^2$ ;  $E_0$  — средняя напряженность ускоряющего поля,  $e/m$ ;  $L_0$  — период ФОДО структуры канала,  $m$ .

Как и в ранних конструкциях трубок с аксиально симметричными электростатическими линзами, увеличение апертуры канала повышает  $\lambda_{cp}$  и снижает электрическую прочность.

(№ 218/4677. Статья поступила в Редакцию 9/1 1968 г., аннотация — 5/V 1968 г. Полный текст 0,6 а. л., 3 рис., 8 библиографических ссылок.)

## ЛИТЕРАТУРА

1. R. Vande Graaf et al. Nature, 195, 1293 (1962).
2. L. Purser et al. Rev. Scient Instrum., 36, 453 (1965).
3. Е. А. Абрамян, В. В. Вечеславов. «Атомная энергия», 22, 400 (1967).



Сравнение результатов расчета по приближенным формулам с экспериментом.

Компоновка, при которой парогенератор расположен на уровне нижней кромки активной зоны: 1 — линейная аппроксимация, 2 — откорректированная модель, 3 — эксперимент; компоновка, при которой парогенератор приподнят над активной зоной: 4 — линейная аппроксимация, 5 — откорректированная модель, 6 — эксперимент.

в случае, если со стороны второго контура температура в парогенераторе по высоте постоянна;  $H_{\text{пг}}$  — высота парогенератора;  $k$  — коэффициент теплопередачи;  $F$  — поверхность теплообмена;  $C_p$  — удельная теплоемкость;  $G$  — расход теплоносителя.

Аналогичное выражение получено для теплообменника, когда температура со стороны второго контура непостоянна по высоте.

Линейная модель и модель с вышеуказанный корректировкой проверялись экспериментально для двух компоновок контура циркуляции. Сравнение точного решения с линейным приближением показало, что линейная аппроксимация дает удовлетворительное сог-

ласие в случае

$$\frac{H_{\text{а.з}}}{H_K} \leq 0,7.$$

Отличие экспериментальных данных от расчетов по линейной модели не превышает 25%, а от данных, полученных на корректированной модели, — не более 3% (см. рисунок).

(№ 219/4619. Статья поступила в Редакцию 15/XI 1967 г., аннотация — 14/V 1968 г. Полный текст 0,4 а. л., 4 рис.)

## Выбор программы изменения температуры теплоносителя

Б. Г. ВОЛИК, Н. А. ДОЛГИНОВА

УДК 621.039.517.5

При проектировании систем управления реакторами повышенной маневренности необходимо знать программу наиболее скорого изменения температуры теплоносителя  $T(t)$ , гарантирующую вместе с тем надежную работу технологического оборудования (с точки зрения прочности). Для цилиндрических конструкций, внутренние стенки которых находятся в контакте с теплоносителем, а внешние имеют тепловую изоляцию, такая программа может быть определена из условия экспоненциального закона изменения температурных напряжений  $\sigma(t)$  в наиболее опасной точке (на внутренней стенке):

$$\sigma(t) = [\sigma] (1 - e^{-bt}), \quad (1)$$

где  $b > 0$ . Такой закон исключает переменное нагружение и тем самым повышает долговечность материалов конструкции.

Решив совместно уравнение теплопроводности для стенки цилиндра с граничными условиями третьего рода при некоторых допущениях

$$\frac{\partial \vartheta}{\partial t} = a \frac{\partial^2 \vartheta}{\partial y^2}, \quad (2)$$

и уравнение для тангенциальных температурных напряжений

$$\sigma = \frac{\beta E}{1-\nu} \left[ \frac{2}{R_a^2 - R_i^2} \int_{R_i}^{R_a} \vartheta(x, t) x dx - \vartheta(R_i, t) \right] \quad (3)$$

и введя преобразование Лапласа, получим трансцендентную передаточную функцию:

$$W_\sigma(s) = \frac{\sigma(s)}{T(s)}.$$

Здесь  $\vartheta$  — температура стенки;  $x, y$  — расстояние от центра цилиндра и от внешней поверхности цилиндра до рассматриваемой точки в сечении стенки соответственно;  $a$  — коэффициент температуропроводности;  $R_i, R_a$  — внутренний и внешний радиусы цилиндра соответственно.

При помощи логарифмических частотных характеристик удается оценить диапазон существенных частот

и найти аппроксимирующую дробно-рациональную передаточную функцию

$$W_{\sigma_1}(s) = \frac{\sigma(s)}{T(s)} = \frac{ks}{(1 + \tau_1 s)(1 + \tau_2 s)}. \quad (4)$$

На рисунке приведена nomogramma зависимости величин  $\tau_1, \tau_2$  от теплофизических параметров.

Уравнения (1), (4) и дополнительное ограничение на характер изменения температуры теплоносителя ( $T > 0$  при подъеме температуры и  $T \leq 0$  при снижении) дают искомую программу:

$$T(Fo) = B + CFo + De^{-bf}, \quad (5)$$

где  $B, C, D$  — постоянные.

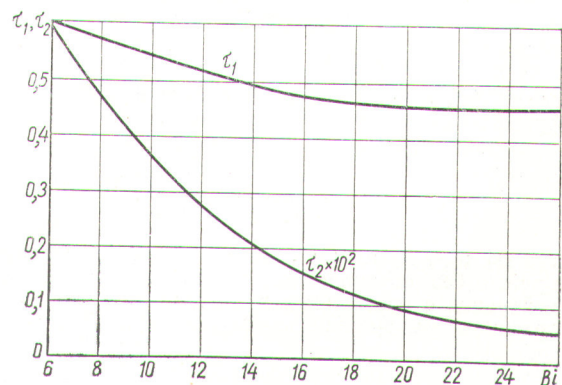
Программа (5) приближенно может быть заменена начальным скачком

$$T_0 = \frac{[\sigma]}{A} \cdot \frac{\tau_1 + \tau_2}{k_1} \quad (6)$$

и последующим линейным изменением

$$\dot{T} = \frac{[\sigma]}{Ak_1}. \quad (7)$$

В приведенных выше уравнениях  $[\sigma]$  — допустимые напряжения;  $A = \frac{\beta E}{1-\nu}$ ;  $\beta, E, \nu$  — коэффициент линей-



Зависимость  $\tau_1, \tau_2$  от теплофизических параметров.